



وزارت علوم، تحقیقات و فناوری
دانشگاه شهید مدنی آذربایجان
دانشکده علوم پایه
گروه شیمی
رساله دکترا
رشته شیمی معدنی

نانوساختارهای هیدرولسیدی دوگانه لایه‌ای: سنتز، شناسائی و کاربرد در زمینه‌های داروئی و فتوکاتالیستی

استاد راهنما:
دکتر ذوالفقار رضوانی

اساتید مشاور:
دکتر موید حسینی صدر
دکتر کاملیا نجاتی

پژوهشگر:
مریم سرکارات

۱۳۹۱ دی ماه
تبریز- ایران

فهرست مطالب

عنوان.....	صفحه.....
فصل اول: بررسی منابع	
۱-۱-۱- مقدمه	۱
۱-۲- تاریخچه هیدروکسیدهای دوگانه لایه ای	۱
۳-۳- ترکیبات لایه ای	۳
۴-۴- ترکیب و ساختار هیدروکسیدهای دوگانه لایه ای (LDHs)	۵
۵-۵- گالری بین لایه ای LDH ها	۵
۶-۶- آنیون های بین لایه ای بکار رفته در LDH ها	۶
۷-۷- کاتیونهای ۲ و ۳ ظرفیتی مورد استفاده برای تهیه LDH ها	۸
۹-۹- تهیه LDH ها	۹
۹-۱-۱- روش هم رسوی	۹
۱۰-۱-۲- اثر حافظه	۱۰
۱۰-۳- هیدروترمال و مایکروویو-هیدروترمال	۱۰
۱۰-۴- هیدرولیز اوره	۱۰
۱۱-۹- خواص LDH ها	۱۱
۱۱-۱- تبادل آنیون بین لایه ها و محیط اطراف	۱۱
۱۱-۲- جذب سطحی اکسی آنیونها روی LDH ها	۱۱
۱۱-۱-۲-۹-۱- اثر pH	۱۱
۱۲-۲-۹-۱- اثر آنیونهای رقابتی	۱۲
۱۲-۳-۲-۹-۱- اثر دما	۱۲
۱۲-۴-۲-۹-۱- اثر طبیعت فلزات موجود در LDH ها	۱۲
۱۲-۵-۲-۹-۱- اثر بار لایه و بار آنیون داخل لایه	۱۲
۱۲-۶-۲-۹-۱- اثر اندازه ذرات	۱۲
۱۳-۷-۲-۹-۱- تکلیس و اثر حافظه	۱۳
۱۳-۱۰-۱- تکنیک های شناسائی LDHs	۱۳
۱۴-۱-۱۰-۱- بررسی ساختار LDH ها توسط پراش اشعه X (XRD)	۱۴
۱۵-۲-۱۰-۱- بررسی مورفوЛОژی LDH ها	۱۵

۱۵	۱-۳-۱۰- بررسی پایداری حرارتی LDH ها
۱۷	۱-۴-۱۰- چرخه کلسیناسیون و اثر حافظه
۱۸	۱-۱۱- پایداری شیمیائی LDH ها
۱۹	۱-۱۲-۱- بررسی آلاینده های محیط زیست
۲۰	۱-۱۲-۱-۱- آلدگی محیط زیست توسط مواد رنگزای آلی
۲۰	۱-۱۲-۱-۲- مروری بر مواد رنگزای آلی
۲۴	۱-۱۳-۱- بررسی کاربرد لایه های دوگانه هیدروکسیدی
۲۴	۱-۱۳-۱-۱- کاربرد LDH ها در تخریب آلاینده ها از محیط زیست
۲۸	۱-۱۳-۱-۲- کاربرد LDH ها در تهیه باتریهای لیتیم دار
۲۹	۱-۱۳-۱-۳- کاربرد LDH ها به عنوان جاذب
۳۳	۱-۱۳-۱-۴- کاربرد LDH ها در انتقال و رهایش دارو
۳۷	۱-۱۳-۱-۴-۱- دارو رسانی هدفمند
۳۹	۱-۱۴-۱- بررسی داروهای بکار رفته در کار پژوهشی
۳۹	۱-۱۴-۱-۱- ناپروکسن
۴۰	۱-۱۴-۱-۲- فولیک اسید
۴۲	۱-۱۵- اهداف کار پژوهشی حاضر

فصل دوم : مواد و روش ها

۴۴	۱-۲- معروفی دستگاهها
۴۶	۲-۲- مواد شیمیایی مصرفي
۴۷	۲-۳- روش تهیه مواد
۴۷	۲-۳-۱- تهیه نانو ذرات مغناطیسی آهن
۴۸	۲-۳-۲- تهیه هیدروکسیدهای لایه دوگانه $MgAl\text{-}NO_3\text{-LDH}$
۴۸	۲-۳-۳- تهیه کامپوزیت مغناطیسی $MgAlNO_3\text{-LDH@Fe}_3\text{O}_4$
۴۸	۲-۳-۴- تهیه کامپوزیت $Nap\text{-MgAlLDH@Fe}_3\text{O}_4$
۴۹	۲-۳-۵- تهیه $Nap\text{-MgAlLDH}$
۴۹	۲-۳-۶- تهیه لایه های هیدروکسیدی دوگانه $ZnAl\text{-NO}_3\text{-LDH}$
۴۹	۲-۳-۷- تهیه $FA\text{-ZnAlLDH}_{Cop.}$ به روش همرسوبی
۵۰	۲-۳-۸- تهیه $FA\text{-ZnAlLDH}_{ion}$ به روش تبادل یونی

۵۰ FA-ZnAlLDH@Fe ₃ O ₄ ۹-۳-۲ - تهیه کامپوزیت مغناطیسی
۵۱ Zn(OH) ₄ /MgAl-LDH ۱۰-۳-۲ - تهیه پیش ماده
۵۱ MgAlZn(MMO) ۱۰-۳-۲ - تهیه اکسید مختلط
۵۱ ZnNiTiLa-LDH ۱۱-۳-۲ - روش تهیه لایه های هیدروکسیدی
۵۱ ZnNiTi-LDH ۱۲-۳-۲ - روش تهیه لایه های هیدروکسیدی
۵۲ ZnNiAlLa-LDH ۱۳-۳-۲ - روش تهیه لایه های هیدروکسیدی
۵۲ ZnNiAl-LDH ۱۴-۳-۲ - روش تهیه لایه های هیدروکسیدی
۵۲ Ti ³⁺ /ZnNiAl La-LDH ۱۵-۳-۲ - روش تهیه لایه های هیدروکسیدی
۵۳ Ti ³⁺ /ZnNiAl LDH ۱۶-۳-۲ - روش تهیه لایه های هیدروکسیدی
۵۳ روشنگری نانوکامپوزیت روی تیتانات ۱۷-۳-۲
۵۴ مطالعه میزان رهایش دارو ۴-۲
۵۴ روشنگری با فرایند USP ۴-۲
۵۴ Nap-MgAlLDH@Fe ₃ O ₄ و Nap-MgAlLDH ۴-۲ - رهایش ناپروکسن از
۵۵ ۴-۲ - رهایش فولیک اسید از کامپوزیت های تهیه شده
۵۶ ۴-۲ - بررسی خواص فتوکاتالیزوری ZnO/MMO در حذف رنگ آبی ۳
۵۸ ۴-۲ - بررسی حذف گاز NO _x توسط کاتالیزورهای سنتز شده
۵۸ ۴-۲ - شرایط آزمایش

فصل سوم: بحث و نتایج

۶۰ ۳ - بررسی لایه های هیدروکسیدی حاوی ناپروکسن
۶۰ ۳ - بررسی الگوی پراش اشعه X نمونه
۶۱ ۳ - ۱-۱-۱ - بررسی الگوی پراش Nap-MgAlLDH و MgAl-NO ₃ LDH
۶۲ ۳ - ۱-۱-۲ - بررسی الگوی پراش نانوکامپوزیت های مغناطیسی
۶۶ ۳ - ۱-۲ - بررسی شیوه های ارتعاشی نمونه ها به کمک طیف سنجی (FT-IR)
۶۷ ۳ - ۱-۲-۱ - بررسی طیف های FT-IR نمونه های Fe ₃ O ₄ و NO ₃ -LDH ,MgAl-NO ₃ LDH@Fe ₃ O ₄
۶۸ ۳ - ۲-۱-۲ - بررسی طیف های FT-IR نمونه های Nap-MgAlLDH , Nap-MgAl LDH@Fe ₃ O ₄ و Nap-MgAlLDH
۶۹ ۳ - ۳-۱ - آنالیز حرارتی

۷۰	- بررسی رفتار حرارتی نمونه $\text{NO}_3\text{-MgAlLDH@Fe}_3\text{O}_4$	۱-۳-۱-۳
۷۰	- بررسی رفتار حرارتی ناپروکسن	۲-۳-۱-۳
۷۱	- بررسی رفتار حرارتی $\text{Nap-MgAlLDH@Fe}_3\text{O}_4$	۳-۱-۳
۷۴	- بررسی مورفولوژی ذرات توسط تصویربرداری TEM	۴-۱-۳
۷۴	- بررسی تصاویر TEM مربوط به Fe_3O_4 و $\text{Nap-MgAlLDH@Fe}_3\text{O}_4$	۳-۱-۴-۱
۷۵	- مطالعه رهایش ناپروکسن از $\text{Nap-MgAlLDH@Fe}_3\text{O}_4$	۳-۱-۵
۷۶	- بررسی لایه های هیدروکسیدی حاوی فولیک اسید	۳-۲-۱
۷۶	- بررسی الگوی پراش نمونه ها	۳-۲-۱
۷۹	- بررسی شیوه های ارتعاشی نمونه ها توسط طیف سنجی FT-IR	۳-۲-۲
۸۰	- بررسی آنالیز حرارتی نمونه ها	۳-۲-۳
۸۰	- بررسی آنالیز حرارتی فولیک اسید	۳-۲-۳
۸۱	- بررسی آنالیز حرارتی $\text{FA-ZnAlLDH}_{\text{Ion}}$	۳-۲-۲-۲
۸۲	- بررسی آنالیز حرارتی $\text{FA-ZnAlLDH}_{\text{Cop}}$	۳-۲-۳-۳
۸۳	- بررسی آنالیز حرارتی $\text{FA-ZnAlLDH@Fe}_3\text{O}_4$	۳-۲-۳-۴
۸۵	- بررسی مورفولوژی نمونه ها	۳-۲-۴
۸۵	- بررسی تصاویر TEM مربوط به $\text{FA-ZnAlLDH@Fe}_3\text{O}_4$ و $\text{FA-ZnAlLDH}_{\text{Cop}}$	۳-۲-۴-۱
۸۶	- مطالعه رهایش فولیک اسید	۳-۲-۵
۸۸	- بررسی اکسیدهای مختلط ZnO/MMO مشتق شده از لایه های هیدروکسیدی	۳-۳-۳
۸۸	- بررسی الگوی پراش Zinc hydroxide/MgAl-LDH	۳-۳-۱
۹۱	- بررسی طیف های FT-IR نمونه ها	۳-۳-۲
۹۱	- بررسی طیف های FT-IR رنگ آبی بازی ۳ قبل و بعد از تخریب فتوکاتالیزوری	۳-۳-۲-۱
۹۱	- بررسی طیف های ZLDH96 FT-IR و $\text{ZnO/MMO}(700^{\circ}\text{C})$ قبل و بعد از تخریب	۳-۳-۲-۲
۹۳	- فتوکاتالیزوری	۳-۳-۳
۹۴	- بررسی آنالیز حرارتی	۳-۳-۳
۹۴	- بررسی آنالیز حرارتی ZLD96	۳-۳-۱
۹۵	- بررسی تصاویر TEM نمونه ها	۳-۳-۴
۹۵	- تصاویر TEM از ZLDH96 و ZLDH96 کلسینه شده در 700°C	۳-۳-۴-۱
۹۶	- بررسی فعالیت فتوکاتالیستی نمونه های ستز شده	۳-۳-۵
۹۶	- بررسی فعالیت فتوکاتالیزوری نمونه های ستز شده برای حذف رنگ BB3 در حضور نور UV	۳-۳-۵-۱

۹۸.....	۳-۳-۵-۲- بررسی مکانیسم حذف رنگ توسط °C ZnO/MMO-700
۱۰۰.....	۳-۳-۵-۳-۳- بررسی طیف UV-vis فتوکاتالیزور °C ZnO/MMO-700
۱۰۰.....	۳-۳-۵-۴- بررسی تغییرات غلظت اولیه کاتالیزور در فرایند فتوکاتالیستی حذف رنگ
۱۰۱.....	۳-۳-۳-۵-۵- بررسی تغییرات غلظت رنگ در فرایند فتوکاتالیزور حذف رنگ
۱۰۲.....	۳-۳-۳-۵-۶- بررسی پایداری فتوکاتالیزور UV تحت تابش نور ZnO/MMO
۱۰۴.....	۳-۴- بررسی لایه های هیدروکسیدی چهار کاتیونی
۱۰۴.....	۳-۳-۴-۱- بررسی الگوی پراش نمونه ها
۱۰۴.....	۳-۴-۱-۱- بررسی الگوی پراش هیدروکسیدهای دوگانه لایه ای ZnNiTiLa-LDH و ZnNiTi-LDH
۱۰۵.....	۳-۴-۱-۲- بررسی الگوی پراش هیدروکسیدهای دوگانه لایه ای ZnNiAlLa-LDH و ZnNiAl-LDH و Ti^{3+} / ZnNiAlLa-LDH و Ti^{3+} / ZnNiAl-LDH
۱۰۷.....	۳-۴-۱-۳- بررسی الگوی پراش ZnNiTiLa-LDH کلسینه شده بین دماهای °C ۳۰۰-۸۰۰
۱۰۸.....	۳-۴-۱-۴- بررسی الگوی پراش هیدروکسیدهای دوگانه لایه ای ZnNiTi-LDH کلسینه شده بین دماهای °C ۳۰۰-۸۰۰
۱۱۰.....	۳-۴-۱-۵- بررسی الگوی پراش هیدروکسیدهای دوگانه لایه ای Ti^{3+} / ZnNiAl-LDH کلسینه شده در دمای بین °C ۴۰۰-۸۰۰
۱۱۱.....	۳-۴-۱-۶- بررسی الگوی پراش هیدروکسیدهای دوگانه لایه ای Ti^{3+} / ZnNiAlLa-LDH کلسینه شده
۱۱۲.....	۳-۴-۱-۷- بررسی الگوی پراش روی تیتانات
۱۱۳.....	۳-۴-۲- بررسی طیف FT-IR هیدروکسیدهای دوگانه لایه ای کاتیونهای سه و چهارتائی
۱۱۴.....	۳-۴-۳- بررسی آنالیز حرارتی نمونه ها
۱۱۴.....	۳-۴-۴-۱- بررسی آنالیز حرارتی ZnNiTiLa-LDH
۱۱۵.....	۳-۴-۲-۲- بررسی آنالیز حرارتی ZnNiTi-LDH
۱۱۶.....	۳-۴-۳-۳- بررسی آنالیز حرارتی ZnNiAl-LDH و ZnNiAlLa-LDH
۱۱۸.....	۳-۴-۳-۴- بررسی آنالیز حرارتی Ti^{3+} / ZnNiAlLa-LDH
۱۱۸.....	۳-۴-۳-۵- بررسی آنالیز حرارتی Ti^{3+} / ZnNiAl-LDH
۱۱۹.....	۳-۴-۴- بررسی طیف SEM نمونه های سنتز شده
۱۲۳.....	۳-۴-۵- بررسی خواص فتوکاتالیزوری نمونه های کلسینه شده
۱۲۶.....	۳-۵- نتیجه گیری
۱۲۸.....	۳-۶- پیشنهاد برای کارهای بعدی

۱۲۹ منابع

فهرست جداول

جدول ۱ - ۱: ظرفیت جذب LDH برای انواع گوناگون از رنگ ها.....	۲۹
جدول ۲ - ۱: مواد شیمیائی بکار رفته	۴۷
جدول ۲ - ۲: خصوصیات شیمیائی ناپروکسن	۵۵
جدول ۲ - ۳: خصوصیات شیمیائی فولیک اسید	۵۶
جدول ۲ - ۴: خصوصیات ماده شیمیائی ماده رنگرای آبی بازی ۳.....	۵۷
جدول ۳ - ۱: پارامترهای شبکه نمونه های سنتز شده	۶۵
جدول ۳ - ۲: محل پیکهای ارتعاشی گروه های عاملی مربوط به نمونه های $\text{NO}_3\text{-LDH}$, $\text{LDH}@\text{Fe}_3\text{O}_4$ و Fe_3O_4	۶۹
جدول ۳ - ۳: نتایج آنالیز عنصری نانوکامپوزیت های $\text{NO}_3\text{-MgAlLDH}@\text{Fe}_3\text{O}_4$ و $\text{Nap-MgAlLDH}@\text{Fe}_3\text{O}_4$	۷۳
جدول ۳ - ۴: پارامترهای شبکه مربوط به نمونه های سنتز شده	۷۸
جدول ۳ - ۵: پارامترهای سلول واحد و فواصل بین لایه ای	۸۹
جدول ۳ - ۶: محل پیک های ارتعاشی گروه های عاملی رنگ BB3	۹۲
جدول ۳ - ۷: راندمان حذف فتوکاتالیزورهای های سنتز شده.....	۹۸
جدول ۳ - ۸: پارامترهای شبکه و سطح ویژه LDH های چهارتائی.....	۱۰۶
جدول ۳ - ۹: فعالیت فتوکاتالیستی نمونه های سنتز شد تحت نور مرئی و UV و مقادیر سطح ویژه آنها	۱۲۵

فهرست شکل ها

شکل ۱-۱: ساختار هیدروکسیدهای دوگانه لایه ای	۲
شکل ۱-۲- نمایش شماتیک ساختار LDH	۴
شکل ۱-۳: ساختار عمومی LDH پلی مرف a) هگزاگونال b) رومبوهدرال	۵
شکل ۱-۴: نحوه قرار گیری آنیونها بین لایه های شبه بروسیت	۶
شکل ۱-۵: تغییر فضای بین لایه ای LDHs در اثر وارد شدن آنیون های با سایزهای متفاوت	۷
شکل ۱-۶: کاتیون های بکار رفته برای تهیه هیدروکسیدهای دوگانه لایه ای	۸
شکل ۱-۷: روش تهیه LDH به روش هم رسوبی تحت گاز نیتروژن	۹
شکل ۱-۸: تخریب لایه های هیدروکسیدی و ایجاد اکسیدهای مختلط	۱۳
شکل ۱-۹: طیف XRD مربوط به ZnAl-(CO) ₃ LDH	۱۴
شکل ۱-۱۰: نشان دهنده ضخامت لایه هیدروکسیدی و فاصله بین لایه ای	۱۵
شکل ۱-۱۱: مورفولوژی نانو ذرات (a) Mg/AlLDH (b) Cu/CrLDH	۱۵
شکل ۱-۱۲: منحنی DTA از MgAl-CO ₃ LDH با نسبت های متفاوت از Mg/Al	۱۶
شکل ۱-۱۳: تغییرات XRD از MgAl-CO ₃ LDH با نسبت Mg/Al برابر با ۲ به ۱ که در دمای بین ۱۰۰۰ درجه سانتیگراد حرارت داده شده است	۱۷
شکل ۱-۱۴: تخریب از MgAl-CO ₃ LDH بوسیله کلسینه کردن و ایجاد دوباره لایه ها در محیط آبی	۱۸
شکل ۱-۱۵: رنگهای متداول بکار رفته در صنعت نساجی	۲۱
شکل ۱-۱۶: ساختار شیمیائی رنگ آبی بازی	۲۲
شکل ۱-۱۷: انتقال الکترونی و دیاگرام سطح انرژی از SnO ₂ و ZnO	۲۶
شکل ۱-۱۸: ساختار TiO ₂ /CuMg-RLDH و مکانیسم فتوکاتالیزوری	۲۷
شکل ۱-۱۹: مکانیسم فتوکاتالیزوری در اثر تابش نور مرئی و UV	۲۷
شکل ۱-۲۰: مکانیسم جذب آرسنات بر روی LDH با نسبت های M ^{II} /M ^{III} برابر با ۱:۳ و ۱:۴	۳۱
شکل ۱-۲۱: کابرد هیدروکسیدهای دوگانه لایه ای در محیط زیست	۳۲
شکل ۱-۲۲: مکانیسم جذب فسفات روی MgAl(Zr)-LDH(CO ₃)	۳۳
شکل ۱-۲۳: نحوه قرار گیری DNA بین هیدروکسیدهای دوگانه لایه ای	۳۵
شکل ۱-۲۴: مکانیسم جذب سلولی نانوهیرید LDH همراه با دارو در داخل سلول	۳۶
شکل ۱-۲۵: ساختار داروهای ناپروکسن و سالسیلیک اسید	۳۷
شکل ۱-۲۶: نحوه قرار گیری داروها را بین لایه های هیدروکسیدی MgAl/LDH نشان می دهد	۳۷
شکل ۱-۲۷: تجمع حاملین مغناطیسی دارو در یک میدان مغناطیسی برای درمان درد زانو	۳۹
شکل ۱-۲۸: پاسخ مغناطیسی نانوکامپوزیت های مغناطیسی در حضور آهن ریا	۳۹

..... ۴۰ شکل ۱-۲۹: ساختار شیمیائی ناپروکسن
..... ۴۱ شکل ۱-۳۰: ساختار شیمیائی فولیک اسید
..... ۵۵ شکل ۲-۱: منحنی کالیبراسیون ناپروکسن
..... ۵۶ شکل ۲-۲: نمودار کالیبراسیون فولیک اسید
..... ۵۷ شکل ۲-۳: سامانه طراحی شده برای حذف رنگ آبی بازی ۳
..... ۵۸ شکل ۲-۴: منحنی کالیبراسیون رنگ آبی بازی ۳
..... ۵۹ شکل ۲-۵: سامانه طراحی شده برای حذف گاز NO_x
..... ۶۲ شکل ۳-۱: الگوی پراش Nap-MgAlLDH (b و MgAlNO ₃ -LDH (a
..... ۶۲ شکل ۳-۲: کشیدگی اکسید مغناطیسی آهن پس از تهیه به سمت آهن ربا
..... ۶۳ شکل ۳-۳: الگوی پراش اکسید مغناطیسی آهن
..... ۶۴ شکل ۳-۴: الگوی پراش Nap- (c و MgAl-NO ₃ LDH@Fe ₃ O ₄ (b ، Fe ₃ O ₄ (a
..... ۶۶ شکل ۳-۵: نحوه قرارگیری آنیون ناپروکسن بین لایه های LDH
..... ۶۷ شکل ۳-۶: شکل FT-IR مربوط به (a) Nap-MgAlLDH@Fe ₃ O ₄ (b ، MgAlNO ₃ - (c و Fe ₃ O ₄
..... ۶۹ شکل ۳-۷: طیف FT-IR مربوط به نمونه های (a) ناپروکسن و Nap- (b و MgAlLDH@Fe ₃ O ₄
..... ۷۰ شکل ۳-۸: آنالیز حرارتی NO ₃ -MgAlLDH@Fe ₃ O ₄
..... ۷۱ شکل ۳-۹: آنالیز حرارتی ناپروکسن خالص
..... ۷۲ شکل ۳-۱۰: آنالیز حرارتی Nap-MgAlLDH@Fe ₃ O ₄
..... ۷۳ شکل ۳-۱۱: آنالیز حرارتی Nap-MgAlLDH
..... ۷۵ شکل ۳-۱۲: تصاویر TEM مربوط به (a) Nap-MgAlLDH@Fe ₃ O ₄ (b ، Fe ₃ O ₄ و (c) بررسی آنالیز عصری
..... ۷۶ شکل ۳-۱۳: رهایش ناپروکسن از Nap-MgAlLDH@Fe ₃ O ₄ و مخلوط فیزیکی از ناپروکسن و MgAlLDH@Fe ₃ O ₄
..... ۷۷ شکل ۳-۱۴: XRD مربوط به FA-ZnAlLDH@Fe ₃ O ₄ و Fe ₃ O ₄ و FA-
..... ۷۸ شکل ۳-۱۵: طیف XRD مربوط به (a) ZnAl-NO ₃ LDH (b ZnAl-LDH _{ion} و FA- (c

شکل ۳-۱۶: نحوه قرار گیری فولیک اسید بین لایه های هیدروکسیدی	۷۹
شکل ۳-۱۷: طیف FT-IR مربوط به (a) فولیک اسید خالص (b) FA-ZnAl (c) FA-ZnAlLDH@Fe ₃ O ₄	۸۰
شکل ۳-۱۸: آنالیز حرارتی فولیک اسید	۸۱
شکل ۳-۱۹: آنالیز حرارتی FA-ZnAlLDH _{ion}	۸۲
شکل ۳-۲۰: آنالیز حرارتی FA-ZnAlLDH _{Cop}	۸۳
شکل ۳-۲۱: آنالیز حرارتی FA-ZnAlLDH@Fe ₃ O ₄	۸۴
شکل ۳-۲۲: تصاویر TEM مربوط به (a) FA-ZnAlLDH _{Cop} (b) FA-ZnAlLDH با بزرگنمایی بالا (c)	۸۶
شکل ۳-۲۳: بررسی رهایش فولیک اسید در pH=7.4 و دمای ۳۷ درجه سانتیگراد	۸۷
شکل ۳-۲۴: الگوی پراش ZLDH سنتز شده در زمانهای ۱۶۸، ۴۸ و ۹۶ ساعت	۸۸
شکل ۳-۲۵: پراش اشعه X ZLDH96 کلسینه شده در سه دمای ۶۰۰، ۵۰۰ و ۴۰۰ درجه سانتیگراد به مدت ۴ ساعت	۹۰
شکل ۳-۲۶: طیف XRD مربوط به ZLDH96 و ZnO/MMO 700 پس از تخریب فتوکاتالیزوری رنگ BB3	۹۱
شکل ۳-۲۷: طیف FT-IR رنگ بازی آبی (a) در حالت جامد (b) پس از ۴ ساعت از شروع تخریب فتوکاتالیستی رنگ (c) پس از ۱۰ ساعت از شروع تخریب	۹۲
شکل ۳-۲۸: طیف FT-IR نمونه (a) ZnO/MMO (b) ZLDH96 (c) ZnO/MMO پس از تخریب فتوکاتالیزوری	۹۳
شکل ۳-۲۹: آنالیز حرارتی ZLDH96	۹۴
شکل ۳-۳۰: تصاویر TEM از (a) ZnO/MMO-700°C (b) ZLDH96 (c) EDX نتایج	<u>۹۶</u>
شکل ۳-۳۱: راندمان حذف رنگ BB3 در حضور فتوکاتالیزورهای های تهیه شده	۹۷
شکل ۳-۳۲: مکانیسم حذف رنگ توسط فتوکاتالیزور UV-ZnO/MMO-۷۰۰°C تحت نور UV	۹۹
شکل ۳-۳۳: تغییرات طیف جذبی UV-vis رنگ BB3 در فرایند فتوکاتالیزوری بر حسب زمان تابش	۱۰۰
شکل ۳-۳۴: بررسی تغییرات غلظت اولیه کاتالیزور در فرایند فتوکاتالیزوری حذف رنگ	۱۰۱
شکل ۳-۳۵: بررسی تغییرات غلظت رنگ در فرایند فتوکاتالیزوری حذف رنگ	۱۰۲
شکل ۳-۳۶: بررسی پایداری فتوکاتالیست ZnO و ZnO/MMO تحت نور UV	۱۰۳
شکل ۳-۳۷: الگوی پراش لایه های هیدروکسیدی ZnNiTiLa-LDH و ZnNiTi-LDH	۱۰۵

شکل ۳-۳۸: بررسی الگوی پراش لایه های هیدروکسیدی (c ZnNiAlLa-LDH (b ZnNiAl-LDH (a ZnNiTiLa-LDH کلسینه شده بین دماهای ۳۰۰-۸۰۰ درجه سانتیگراد به مدت ۱۰۶.....
شکل ۳-۳۹: الگوی پراش ZnNiTiLa-LDH کلسینه شده بین دماهای ۳۰۰-۸۰۰ درجه سانتیگراد به مدت یک ساعت ۱۰۸.....
شکل ۳-۴۰: الگوی پراش ZnNiTi-LDH کلسینه شده بین دماهای ۳۰۰-۸۰۰ درجه سانتیگراد به مدت یک ساعت ۱۰۹.....
شکل ۳-۴۱: الگوی پراش لایه های هیدروکسیدی Ti^{3+} into ZnNiAl-LDH کلسینه شده در دمای بین ۸۰۰-۴۰۰ درجه سانتیگراد به مدت یک ساعت ۱۱۰.....
شکل ۳-۴۲: الگوی پراش لایه های هیدروکسیدی Ti^{3+} /ZnNiAlLa-LDH کلسینه شده در دماهای ۸۰۰-۴۰۰ درجه سانتیگراد به مدت یک ساعت ۱۱۱.....
شکل ۳-۴۳: طیف XRD روی تیتانات (a) ۴۰۰ و (b) ۸۰۰ درجه سانتیگراد ۱۱۲.....
شکل ۳-۴۴: طیف FT-IR نمونه های (a) ZnNiTiLa-LDH (b) ZnNiTi-LDH (c) Ti^{3+} /ZnNiTiLa-LDH (d) Ti^{3+} /ZnNiAl-LDH ۱۱۳.....
شکل ۳-۴۵: طیف FT-IR نمونه های (a) ZnNiAl-LDH (b) ZnNiAlLa-LDH ۱۱۴.....
شکل ۳-۴۶: آنالیز حرارتی ZnNiTiLa-LDH ۱۱۵.....
شکل ۳-۴۷: آنالیز حرارتی ZnNiTi-LDH ۱۱۶.....
شکل ۳-۴۸: آنالیز حرارتی (a) ZnNiAl-LDH (b) ZnNiAlLa-LDH ۱۱۷.....
شکل ۳-۴۹: آنالیز حرارتی Ti^{3+} into ZnNiAlLa-LDH ۱۱۸.....
شکل ۳-۵۰: آنالیز حرارتی Ti^{3+} /ZnNiAl-LDH ۱۱۹.....
شکل ۳-۵۱: تصاویر LDH های سنتز شده (a) LDH SEM (b) ZnNiTiLa-LDH (c) ZnNiTi-LDH (d) Ti^{3+} /ZnNiAl-LDH ۱۲۱.....
شکل ۳-۵۲: تصاویر SEM نمونه های (F) ZnNiTi-LDH (g) ZnNiTiLa-LDH (h) ZnNiAlLa- ۱۲۲.....
شکل ۳-۵۳: تصویر کلسینه شده تیتانات روی در دمای ۸۰۰ درجه سانتیگراد ۱۲۳.....
شکل ۳-۵۴: بررسی خواص فتوکاتالیستی نمونه های کلسینه شده در تخریب گاز NO_x تحت نور مرئی و UV ۱۲۴.....

چکیده:

هیدروکسیدهای دوگانه لایه‌ای طبقه‌ای از خاک‌های رس آنیونی هستند که در چند دهه اخیر به علت داشتن خواص متعدد به عنوان جاذب‌های سطحی، حامل‌های داروئی، کاربردهای کاتالیزوری و فتوکاتالیزوری بسیار مورد توجه می‌باشند.

در این کار پژوهشی ابتدا نانوکامپوزیت مغناطیسی از هیبرید آلی-معدنی شامل ناپروکسن (Nap) به عنوان یک گونه غیر استروئیدی وارد شده بین لایه‌های نانوکامپوزیت مغناطیسی $Mg\text{-Al LDH@Fe}_3\text{O}_4$ به روش همروسوبی با موفقیت تهیه گردید. ساختار محصولات تهیه شده با استفاده از پراش اشعه X، اسپکتروسکوپی FT-IR و آنالیز حرارتی بررسی شد. مطالعات XRD نشان داد که ناپروکسن در بین لایه‌های هیدروکسیدی وارد شده و فاصله d_{003} از $0.88/\text{۲}.\text{۱۵}\text{۷}$ نانومتر تغییر یافته است که بیانگر این است که ناپروکسن به حالت دو لایه‌ای در هم فرورفته در بین لایه‌های هیدروکسیدی قرار گرفته و بر روی نانوذرات اکسید مغناطیسی آهن رسوب کرده است. بررسی رفتار حرارتی نانوکامپوزیت‌های تشکیل شده نشان داد که با وارد کردن دارو بین هیدروکسید دوگانه لایه‌ای پایداری حراطی آن افزایش یافته و در دمای بالا شروع به تخریب می‌کند. برهمکنش قوی ایجاد شده بین لایه‌ها و آنیون‌های ناپروکسن یک رهایش تدریجی را در pH برابر با $7/4$ نشان می‌داد. در ادامه این کار داروی فولیک اسید (FA) وارد شده بین نانوکامپوزیت مغناطیسی $Zn\text{Al-LDH@Fe}_3\text{O}_4$ با موفقیت سنتز گردید. همچنین فولیک اسید با هیدروکسیدهای دوگانه لایه‌ای روی و آلومینیم به دو روش همروسوبی و تبادل یونی بدون نانوذرات اکسید مغناطیسی آهن نیز سنتز شد. نتایج حاصل از XRD نشان داد که فولیک اسید بین لایه‌های هیدروکسیدی بصورت دست نخورده وارد شده و فاصله بین لایه‌ای در نانوکامپوزیت مغناطیسی $2/048$ نانومتر و بدون نانوذرات مغناطیسی آهن در روش همروسوبی $1/739$ نانومتر و در روش تبادل یونی $1/483$ نانومتر تغییر کرده است. می‌توان نتیجه گیری کرد که فولیک اسید به حالت خمیده و تک لایه‌ای بین لایه‌های هیدروکسیدی قرار گرفته و میزان خمیدگی در نانوکامپوزیت مغناطیسی کمتر است. بررسی رهایش داروی فولیک اسید در pH برابر با $7/4$ یک رهایش تدریجی را نشان داد. بررسی تصاویر TEM مشخص می‌کند که داروی وارد شده در بین لایه‌های هیدروکسیدی بر روی ذرات اکسید مغناطیسی آهن رسوب کرده است. بررسی رفتار حرارتی نانوکامپوزیت‌های تشکیل شده نشان داد که وارد شدن فولیک اسید بین هیدروکسیدهای دوگانه لایه‌ای منجر به افزایش پایداری حرارتی آن شده است.

در قسمت دوم از کار پژوهشی فتوکاتالیزوری از اکسید روی در بستری از مخلوط اکسیدهای فلزات منیزیم و آلومینیوم (ZnO/MMO) با استفاده از پیش ماده $Zn(\text{OH})_2/\text{MgAl-NO}_3\text{LDH}$ به روش همروسوبی تهیه گردید. ساختار محصولات تهیه شده با استفاده از پراش اشعه X، اسپکتروسکوپی FT-IR، آنالیز حرارتی، BET و TEM بررسی شد. نتایج نشان داد که در مدت زمان ۹۶ ساعت LDH تهیه شده بیشترین بلورینگی را دارد. پس از کلسینه کردن آن در دماهای 500 و 600 درجه سانتیگراد هیدروکسیدهای دوگانه لایه‌ای از بین رفته و اکسید روی در مخلوطی از اکسیدهای منیزیم و آلومینیم تشکیل گشته است (ZnO/MMO). از اکسید روی تشکیل شده در این بستر بعنوان فتوکاتالیزور موثر برای حذف رنگ آبی بازی 3 استفاده شد. بررسی حذف رنگ با فتوکاتالیزورهای سنتز شده نشان داد که نمونه کلسینه شده در 700 درجه سانتیگراد دارای بیشترین فعالیت فتوکاتالیزوری است. همچنین نمونه کلسینه شده در 700 درجه سانتیگراد کمترین مقدار خوردگی را از خود نشان داد.

در قسمت آخر از کار پژوهشی مخلوط اکسیدهای چهارتائی از La, Ni, Zn و Ti پس از کلسینیه کردن لایه های هیدروکسیدی چهارتائی در دماهای مختلف تهیه گردید و از آن برای تخریب گاز NO_x استفاده شد. به علت اینکه گاز NO_x یکی از مهمترین آلاینده های هوای داخل ساختمان و خارج ساختمان بوده و اثرات بسیار زیان آوری بر سلامت انسان دارد حذف آن در این کار بررسی گردید. ساختار محصولات تهیه شده با استفاده از پراش اشعه X، اسپکتروسکوپی FT-IR و آنالیز حرارتی بررسی شد. نتایج نشان داد که حضور نیکل و لانتانیم نقش مهمی در تشکیل اکسیدها در دماهای مختلف کلسیناسیون دارد. بطوريکه وجود نیکل مانع از تشکیل روی تیتانات خالص می شود و حضور لانتانیم تشکیل فاز اصلی روی نیکل تیتانیم اکسید را به تأخیر می اندازد. از کامپوزیت های سنتز شده برای حذف گاز مونو اکسید نیتروژن استفاده گردید و نتایج نشان داد که وارد شدن نیکل در ساختار کریستالی روی تیتانات و تشکیل روی نیکل تیتانیم اکسید موجب کاهش فعالیت فتوکاتالیزوری شده است. ZnNiTiLa-LDH نشان XRD کلسینیه شده در دمای ۴۰۰ درجه سانتیگراد بیشترین فعالیت فتوکاتالیزوری از خود نشان داد. مطالعات داد که فاز اصلی تشکیل شده در این دما اکسید روی است. اما با افزایش دما کلسیناسیون تا ۸۰۰ درجه سانتیگراد یک انتقال فاز از اکسید روی به روی نیکل تیتانات رخ می دهد، که موجب کاهش فعالیت فتوکاتالیزوری از ۳۲٪ به ۲۰/۵٪ می شود، در نتیجه فاز اکسید روی فاز موثری در حذف گاز اکسید نیتروژن است. افزایش دما کلسیناسیون از ۴۰۰ به ۸۰۰ درجه سانتیگراد منجر به کاهش سطح ویژه از $123 \text{ m}^2/\text{g}$ به $29/8 \text{ m}^2/\text{g}$ شد. کاهش سطح اثر منفی در فعالیت فتوکاتالیزوری نمونه ها می گذارد. بلورینگی هیدروکسیدهای دوگانه لایه ای با وارد کردن لانتانیم کاهش یافت که این علت این امر به دلیل اختلاف شعاعی زیاد بین کاتیونها است.

کلمات کلیدی:

هیدروکسیدهای دوگانه لایه ای، فتوکاتالیزور، رهایش، غیراسترئیدی، پایداری نوری، تخریب NO_x ، نانو کامپوزیت مغناطیسی و اکسیدهای مختلف

۱ - ۱ - مقدمه

امروزه دانشمندان در تلاش برای سنتز ترکیباتی هستند که نه تنها روش سنتز آسانی داشته باشند، بلکه تهیه آنها مقرنون به صرفه بوده و به محیط زیست نیز آسیبی نرسانند و بتوان از آنها در زمینه های گوناگون استفاده نمود.

کاربرد مشتقات گوناگون از نانوساختارهای خاک رس در زمینه های گوناگون بسیار مورد توجه قرار گرفته است. این ترکیبات به علت داشتن ساختارهای منسجم و منظم، سطح وسیع، داشتن گروه های عاملی قابلیت اتصال به ترکیبات آلی و بیوسازگار بودن یک زمینه وسیعی برای تحقیق در مورد این مواد بوجود آورده است.

۱ - ۲ - تاریخچه هیدروکسیدهای دوگانه لایه ای^۱

هیدروکسیدهای دوگانه لایه ای بعد از کشف هیدروتالیسیت ها^۲ توسط معدن شناسان گروه سجوقرنیت-هیدروتالیسیت^۳ شناخته شده اند. هیدروتالیسیت پودر سفید طلق مانندی از هیدروکسی کربنات منیزیم و آلومنیم است که در سال ۱۸۴۲ کشف شد [۱]. استوکیومتری هیدروتالیسیت ها اولین بار در سال ۱۹۱۵ توسط ماناس^۴ با فرمول کلی $\text{CO}_3 \cdot 4\text{H}_2\text{O} [\text{Mg}_6 \text{Al}_2 (\text{OH})_{16}]$ تعیین شد

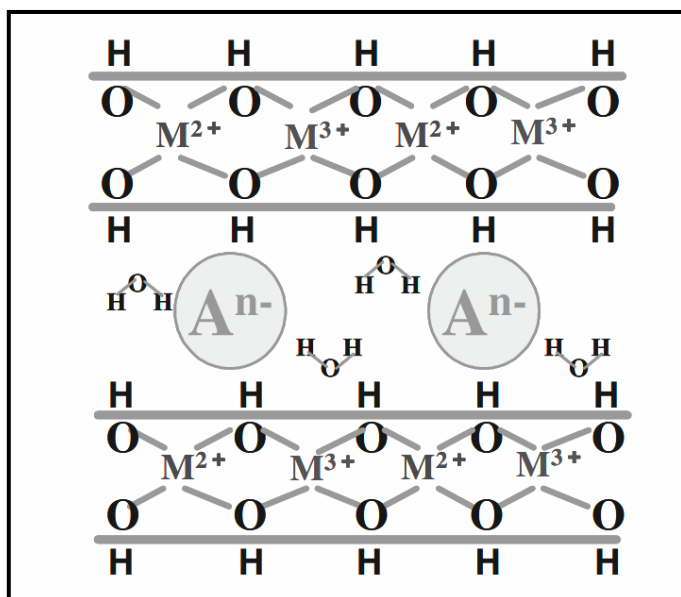
¹ Layered Double Hydroxides

² Hydrotalcites

³ Sjogrenite-hydotalcite

⁴ Manasse

[۲]. در سال ۱۹۶۰ با مطالعات پراش اشعه X^۱ (XRD) نمونه های معدنی، ساختار اصلی هیدروتالیسیت ها توسط آلمان و تیلور^۲ شناخته شد [۳]. آنها نشان دادند که کاتیونهای دو و سه ظرفیتی در یک لایه، کربنات و آب در بین لایه ها جمع می شوند. هیدروتالیسیت، یکی از معروفترین مواد معدنی از گروه هیدروکسیدهای لایه ای دوگانه است لذا به LDH ها ترکیبات هیدروتالیسیت مانند (HTLC) نیز گفته می شود. ساختار هیدروتالیسیت ها شبیه به بروسیت با فرمول مولکولی $Mg(OH)_2$ است، ولی ساختار لایه ها طوری است که برخی از کاتیونهای دو ظرفیتی توسط کاتیونهای سه ظرفیتی جایگزین شده و این جایگزینی منجر به ایجاد بار مثبت در لایه ها می شود. بارهای مثبت ایجاد شده در لایه ها توسط آنیون های بین لایه ای خنثی می گردد. همانطور که در شکل (۱-۱) دیده می شود کاتیونها مرکز حفره های اکتاهدرال را در لایه ها اشغال می کنند و گروه های هیدروکسیل به آنها متصل شده اند [۴-۶]. واحدهای اکتاهدرال، لایه های نامحدود با لبه های تیز را تشکیل داده، و لایه ها توسط پیوندهای ضعیف هیدروژنی که مولکول های آب با آنها ایجاد می کند به هم متصل می شوند. این ترکیبات لایه ای ایجاد شده را به نام ترکیبات هیدروکسیدی دوگانه لایه ای (LDH) نام نهادند [۷-۹].



شکل ۱-۱: ساختار هیدروکسید دوگانه لایه ای

^۱ X-ray diffraction

^۲ Almann and Taylor

^۳ Octahedral

۱-۳- ترکیبات لایه ای

ترکیبات لایه ای ، ترکیبات کریستالی هستند که از واحدهای دو بعدی تشکیل شده و لایه ها با نیروهای ضعیفی روی هم دیگر انباشته شده اند [۱۰].

ترکیبات لایه ای می توانند بر اساس بارهای الکتریکی لایه ها به ۳ دسته طبقه بندی شوند :

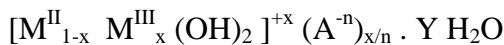
۱ - لایه های باردار مثبت : مانند هیدروکسیدهای دو گانه لایه ای و نمک های هیدروکسید لایه ای که با حضور آنیون ها پایدار می شوند .

۲ - لایه های خنثی : مانند گرافیت و هیدروکسیدهای لایه ای

۳ - لایه های باردار منفی : مانند خاک های رسی معدنی که قابلیت مبادله کاتیون را دارند .

ترکیبات لایه ای می توانند گونه های شیمیایی باردار الکتریکی را در خود نگهداشته و فضای بین لایه ها را کوچک یا بزرگ کنند [۱۱]. از میان سه دسته از مواد بالا هیدروکسیدهای دو گانه لایه ای به علت ساختار ، خواص فیزیکی و شیمیایی و کاربردشان بیشتر مورد توجه قرار گرفته اند.

فرمول شیمیایی LDH ها عموما به صورت زیر بیان می شود :



M^{II} : کاتیون ۲ ظرفیتی

کاتیونهای مانند:



M^{III} : کاتیون ۳ ظرفیتی

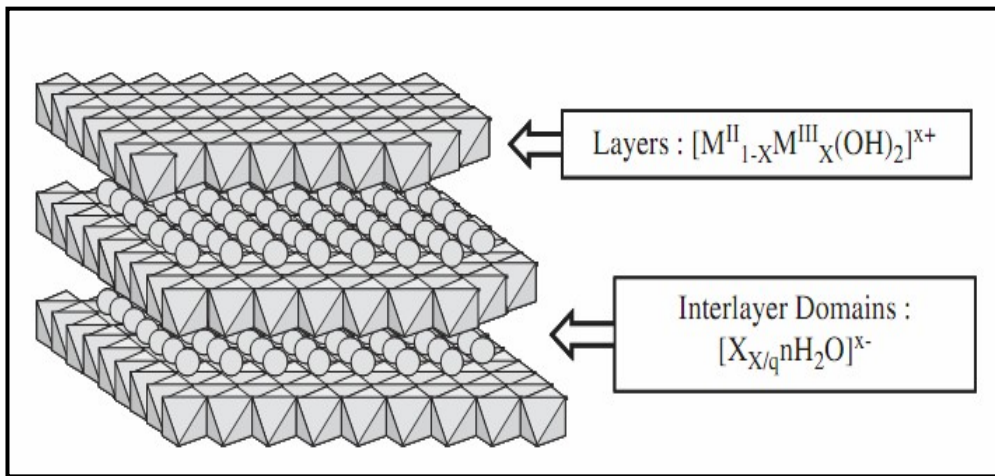
کاتیونهای مانند:



A^{-n} : آنیون بین لایه ای نظیر: Cl^- ، CO_3^{2-} ، NO_3^- و غیره همراه با مولکول های آب می توانند در ناحیه بین لایه ها قرار گرفته و باعث خنثی شدن بار لایه ها و پایداری گردند [۱۲]. این ساختار جدید، هیدروکسید لایه دو گانه یا ترکیب هیدروتالسیت مانند نامیده می شود که در شکل (۲-۱) ساختار آنها نشان داده شده است .

-n : بار روی آنیون بین لایه ای

x و y : ثابت های جزئی (برای بیشتر LDH ها مقدار x معمولا در حدود ۰/۲۰ تا ۰/۳۳ تعیین شده که با کسر مولی $M^{+3}/M^{+2}+M^{+3}$ متناسب است)



شکل ۲-۱: نمایش شماتیک ساختار LDH

اخیراً فاق^۱ و همکارانش از واکنش آلومینیم هیدروکسید^۲ با نیترات فلزاتی نظیر Co Zn, Cu, Ni, Co توانسته لایه های هیدروکسیدی جدیدی با فرمول زیر را سنتز نمایند [۱۳].

$$[MAl_4(OH)_{12}] (NO_3)_2 \cdot n H_2O \quad M=Zn, Cu, Ni, Co$$

کاتیون ها در فضاهای خالی آلومینیم هیدروکسید قرار می گیرند و آنیون نیترات در بین لایه ها وارد می شود.

LDH های با کاتیون های تک ظرفیتی مانند Li^+ نیز با فرمول زیر سنتز شده اند.



کاتیون های Li^+ وارد فضاهای خالی هیدروکسید آلومینیم شده و آنیون بین لایه ها قرار می گیرد [۱۴, ۱۵]. ترکیب LDH ها محدود به دو نوع کاتیون نمی شود بلکه LDH های سه کاتیونی نیز سنتز شده اند که با جایگزینی جزئی از فلز دو ظرفیتی ایجاد LDH های سه کاتیونی را می نماید.



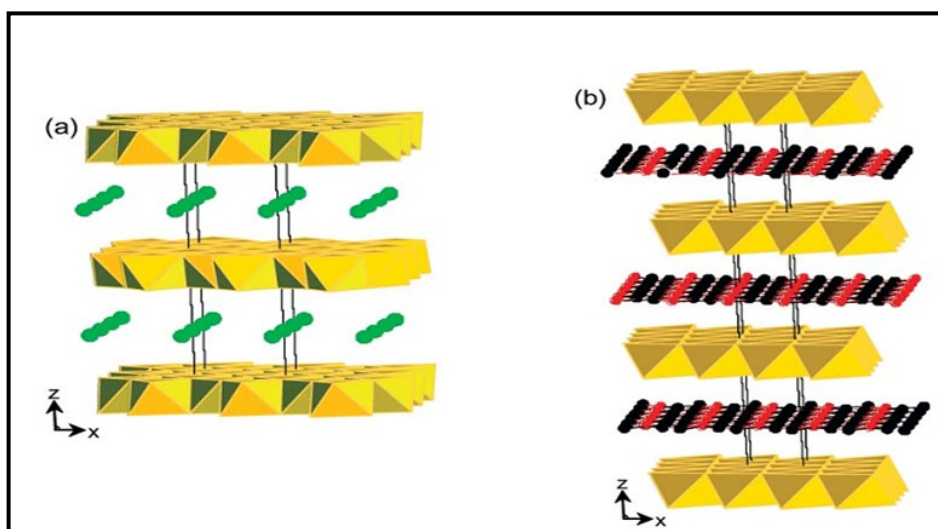
LDH های با فلزات ۴ ظرفیتی مثل Si^{4+} , Ti^{4+} , Si^{4+} , Zr^{4+} و Si^{4+} نیز سنتز شده اند [۱۶, ۱۷].

¹ Fogg

² $\gamma - Al(OH)_3$ gibbsite

۱-۴- ترکیب و ساختار هیدروکسیدهای دوگانه لایه‌ای (LDHs)

هنده اطراف کاتیون‌ها در حالت فشرده معمولاً از آرایش ایده ال اکتاهدراال منحرف شده و در امتداد محور C_3 فشرده می‌شود و تقارن آن از حالت اکتاهدراال به D_{3d} تغییر می‌کند. در این حالت فاصله O و Mg....Mg از $0.297\text{ }\mu\text{m}$ (اکتاهدراال) به $0.2427\text{ }\mu\text{m}$ (اکتاهدراال) افزایش می‌یابد و ضخامت لایه‌ها از $0.2427\text{ }\mu\text{m}$ (اکتاهدراال) به $0.2112\text{ }\mu\text{m}$ (اکتاهدراال) کاهش می‌یابد و زوایای پیوندی O-Mg-O از 90° درجه به 96.7° و 83.3° درجه تغییر می‌کند. در حالت رومبوهدراال تقارن فضایی $R\bar{3}m$ است. شکل (۱-۳) ساختار هیدروکسیدهای دوگانه لایه‌ای در دو فرم پلی مورفیک بدون انحراف و با انحراف را نشان می‌دهد [۱۸].



شکل ۱-۳: ساختار عمومی MgAl-NO_3 LDH پلی مرف a) هگزاگونال b) رومبوهدراال

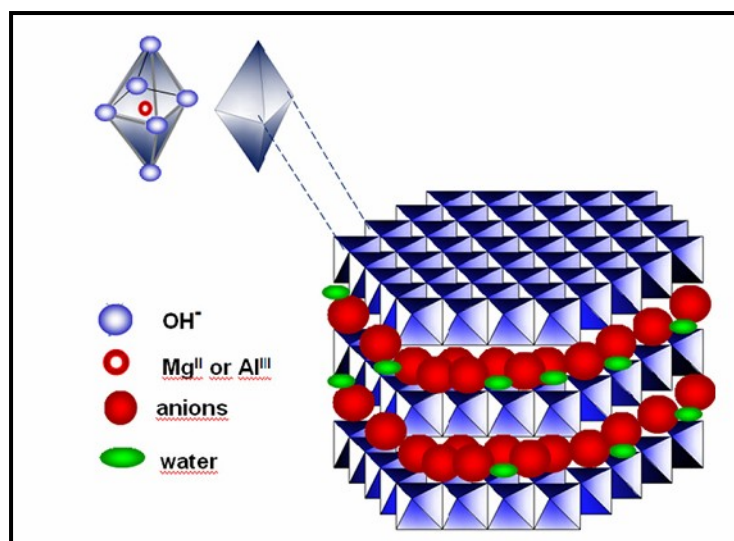
۱-۵- گالری بین لایه‌ای LDH ها

گالری های بین لایه‌ای LDH ها شامل آنیون‌ها و مولکول‌های آب است که یک شبکه پیچیده شامل پیوندهای هیدروژنی ما بین گروه‌های هیدروکسیل^۱، آنیون‌ها و مولکول‌های آب ایجاد می‌کند. پیوند ما بین لایه‌های اکتاهدراال بین لایه‌ای شامل ترکیب اثرات الکترواستاتیکی و پیوند هیدروژنی است که گروه‌های هیدروکسیل با کاتیون‌های ۳ ظرفیتی به طور قوی پلاریزه^۲ شده و با

¹ Hydroxyl

²Polarized

آنیونهای بین لایه‌ای برهmekش می‌دهند. آنیون‌ها بارهای مثبت اضافی روی هر دو لایه اکتاہدرال ساندویچی را خشی می‌کنند بطوری که از لحاظ الکتریکی دو لایه مجاور بدون بار می‌شوند. شکل (۱-۴) نحوه قرارگیری آنیون‌ها را بین هیدروکسید دوگانه لایه‌ای تشکیل شده از منیزیم و آلومینینم نشان می‌دهد [۱۹].



شکل ۱-۴: نحوه قرارگیری آنیونها بین لایه‌های شبه بروسیت

۱-۶- آنیون‌های بین لایه‌ای بکار رفته در LDH ها

خصوصیات اصلی ساختار هیدروکسیدهای دوگانه لایه‌ای با عواملی از قبیل: طبیعت لایه شبه بروسیت، موقعیت آنیون‌ها، آب بین لایه‌ای و نوع انباسته شدن لایه‌ها تعیین می‌شود. یکی از ویژگی‌های بسیار مهم LDH ها خاصیت انعطاف پذیری لایه‌ها است. آنیون‌هائی با اندازه و ساختارهای مختلف می‌توانند در فضای بین لایه‌ای قرار گیرند. حتی مولکول‌های خشی نیز می‌توانند وارد لایه‌ای LDH شوند [۲۰]. شکل (۱-۵) انواع آنیون‌ها با سایزهای مختلف که می‌توانند بین لایه‌ها قرار گیرند آورده شده است.